



15/27 IB-VM-9601.- Resalte formado por leucogranitos de dos micas turmaliníferos (Cerro Castrejón) en la penillanura Precámbrica.



15/27 IB-VM-9602.- Detalle de los leucogranitos en las facies más gruesas.



15/27 IB-VM-9603.- Detalle de los leucogranitos en sus facies más finas.



15/27 IB-VM-9604.- Panorámica de la penillanura Pre-cámbrica tomada desde la carretera La Nava de Rico-malillo-Sevilleja. Al fondo la Sierra de Altamira.



15/27 IB-VM-9605.- Panorámica de la penillanura
Precámbrica tomada desde la carretera La Nava -
de Ricomalillo-Puerto del Rey. Al fondo la Sie-
rra de Sevilleja.



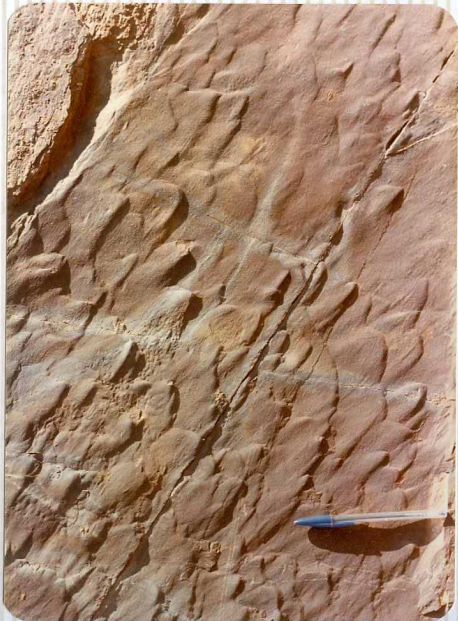
15/27 IB-VM-9606.- Panorámica de la penillanura -
Precámbrica tomada desde la Sierra de Altamira. -
La población que se observa es Mohedas de la Jara.



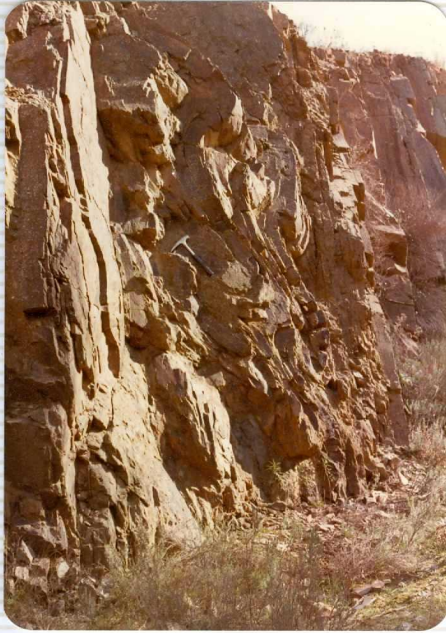
15/27 IB-VM-9607.- Conglomerados en las facies bá sales Precámbricas, dentro de la formación de pi-zarras, grauvacas y areniscas.



15/27 IB-VM-9608.- Conglomerados en las facies bá-sales Precámbricas, dentro de la formación de piza-rras, grauvacas y areniscas.



15/27 IB-VM-9609.- "Flute cast" en las pizarras, grauvias y areniscas del Precámbrico basal.



15/27 IB-VM-9610.- "Slump folds" en las pizarras, grauvacas y areniscas del Precámbrico basal.



15/27 IB-VM-9611.- Pliegue de arrastre de 1^a Fase
Hercínica en el corte de la riz del ferrocarril -
Talavera-Villanueva.



15/27 IB-VM-9612.- Pliegue de 1^a Fase Hercínica en la carretera La Nava de Ricomalillo-Pto S. Vicente.



15/27 IB-VM-9613.- Pliegues angulares de 1^a Fase
Hercínica en el cruce de la carretera la Nava de
Ricomilllo-Pto S. Vicente en el ferrocarril Ta-
lavera-Villanueva.



15/27 IB-VM-9614.- Panóramica de pliegues angulares de 1^a Fase Hercínica en las pizarras, grauvacas y areniscas del Precámbrico basal.



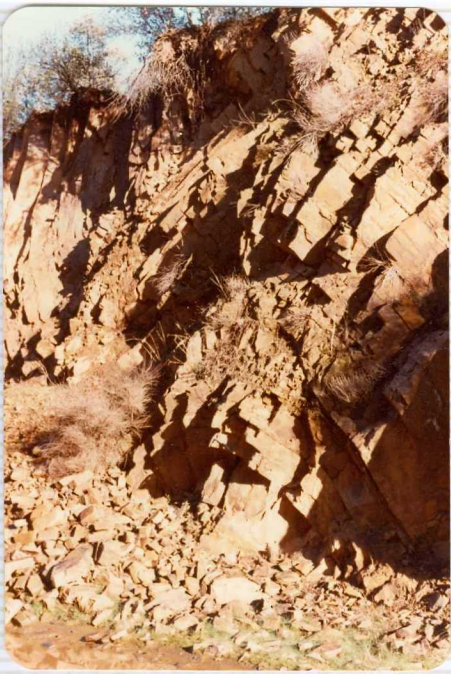
15/27 IB-VM-9615.- Sinclinal en el afloramiento anterior.



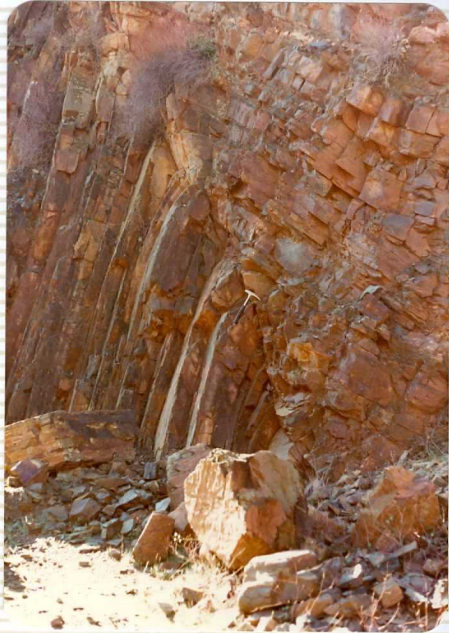
15/27 IB-VM-9616.- Anticlinal y sinclinal en el mismo afloramiento.



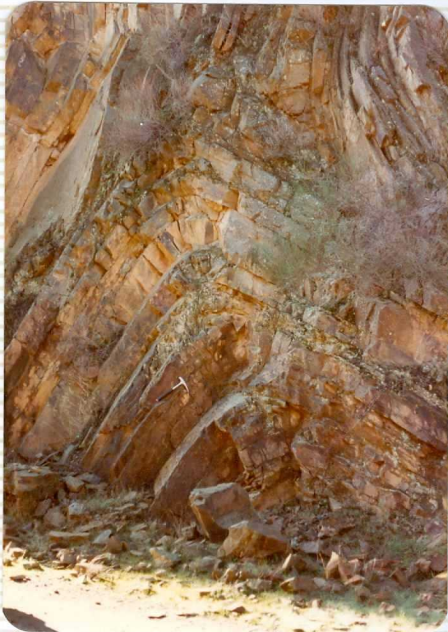
15/27 IB-VM-9617.- Detalle de un sinclinal en el mismo afloramiento anterior.



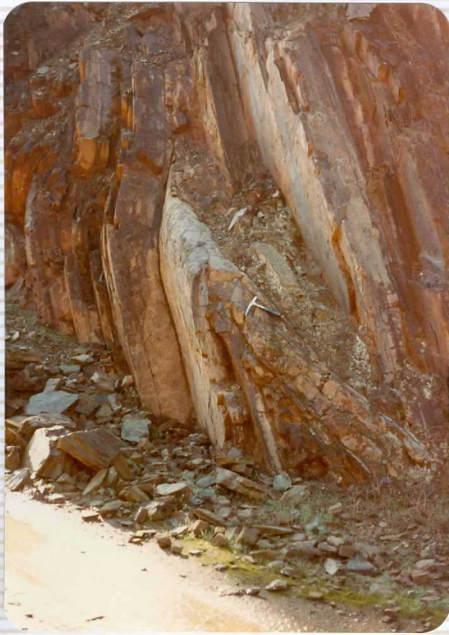
15/27 IB-VM-9618.- Anticlinal de 1^a Fase Hercínica en las pizarras, grauvacas y areniscas del -- Precámbrico basal.



15/27 IB-VM-9619.- Anticlinal de 1^a Fase Hercínica en el mismo afloramiento anterior.



15/27 IB-VM-9620.- Anticlinal de 1^a Fase Hercínica en el mismo afloramiento anterior.



15/27 IB-VM-9621.- Anticlinal de 1^a Fase Hercínica en el mismo afloramiento anterior.



15/27 IB-VM-9622.- Anticlinal de 1^a Fase Hercínica en mismo afloramiento anterior.



15/27 IB-VM-9623.- Panorámica de la brecha tectó
nica en el Río Huso.



15/27 IB-VM-9624.- Brecha tectónica en corte del
Río Huso.



15/27 IB-VM-9625.- Detalle de la brecha tectónica en el corte del Río Huso.



15/27 IB-VM-9626.- Detalle de la brecha tectónica en el corte del Rio Huso.



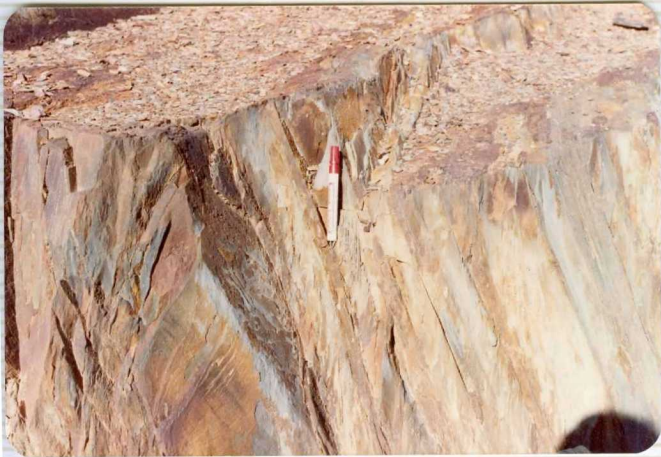
15/27 IB-VM-9627.- Detalle de la brecha tectónica en el corte del Río Huso.



15/27 IB-VM-9628.- Detalle de la brecha tectónica en el corte del Río Huso.



15/27 IB-VM-9629.- Afloramiento de pizarras o Pizarras del Pusa.



15/27 IB-VM-9630.- Relación estratificación - es-
quistosidad en las pizarras del Pusa.



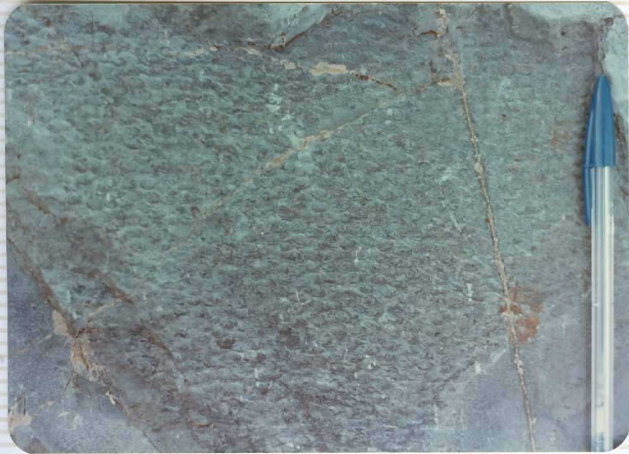
15/27 IB-VM-9631.- Relación estratificación - esquistosidad en las pizarras del Pusa.

15/27 IB-VM-9632.- Bioturbación en las pizarras
del Pusa.





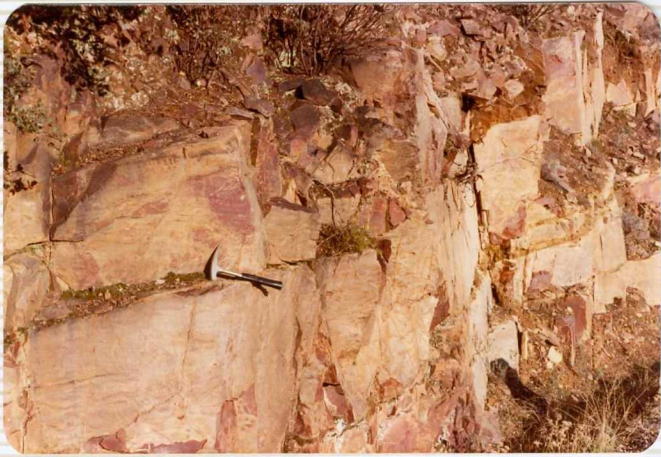
15/27 IB-VM.9633.- Bioturbación en las pizarras del Pusa.



15/27 IB-VM-9634.- Asociación de vegetales clari
ficados como cf. Beftanelloides sarucheera en --
las pizarras del Pusa.



15/27 IB-VM-9635.- Serie del Azorejo. Tramos bá-sales de predominio cuarcítico.



15/27 IB-VM-9636.- Detalle del mismo afloramiento anterior.



15/27 IB-VM-9637.- Pliegues de 1^a Fase Hercínica en los tramos intermedios de la serie del Azorejo.



15/27 IB-VM-9638.- Pliegues de 1^a Fase Hercínica en los tramos intermedios de la serie del Azorejo.



15/27 IB-VM-9639.- Detalle del mismo afloramiento anterior.



15/27 IB-VM-9640.- Tramo superior de la Serie del Azorejo. Alternancias con predominio pizarroso.



15/27 IB-VM-9641.- Tramo superior de la Serie del Azorejo. Alternancias con predominio pizarroso.



15/27 IB-VM-9642.- Relación estratificación - esquistasidad en el mismo afloramiento anterior, la estratificación está representada por las capas - perpendiculares al lápiz utilizado de escala.



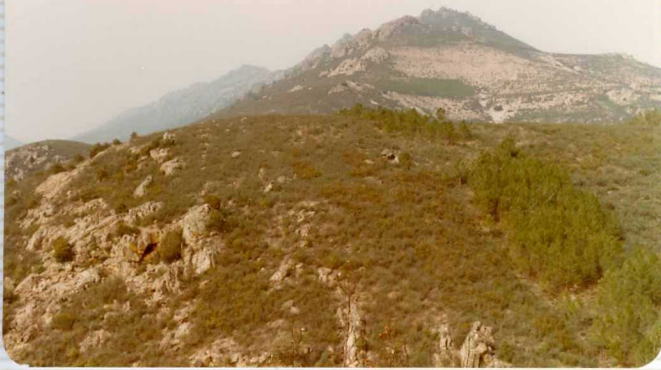
15/27 IB-VM-9643.- Conglomerados basales del Ordovícico Inferior al Oeste de Mohedas de la Jara.



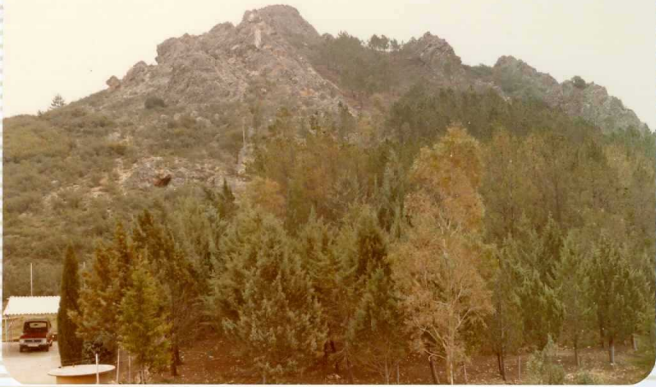
15/27 IB-VM-9643.- Facies violáceas del Ordovíci-
co Inferior al Oeste de Mohedas de la Jara.



15/27 IB-VM-9644.- Facies violáceas del Ordovíci-
co Inferior al Oeste de Mohedas de la Jara.



15/27 IB-VM-9646.- Ortocuarcitas. "Cuarcita armoricana" en el Puerto de S. Vicente.



15/27 IB-VM-9647.- Ortocuarцитas. "Cuarcita armoricana" en el Puerto S. Vicente.



15/27 IB-VM-9648.- Pizarras y cuarcitas alternantes.



15/27 IB-VM-9649.- Pliegues de 1^a Fase Hercínica en las pizarras y cuarcitas alternantes.



15/27 IB-VM-9650.- Pliegues de 1^a Fase Hercínica
en las pizarras y cuarcitas alternantes.



15/27 IB-VM-9651.- Pliegues de 1^a Fase Hercínica
en las pizarras y cuarcitas alternantes.



15/27 IB-VM-9652.- Panorámica de las Pizarras en "Calymene".

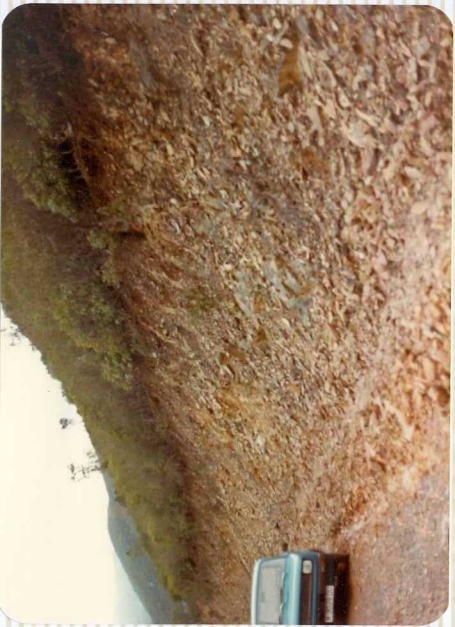


15/27 IB-VM-9653.- Afloramiento de Pizarras con "Calymene".



15/27 IB-VM-9654.- Afloramiento de Pizarras con "Calymene".

15/27 IB-VM-9655.- Afloramiento de Pizarras con
"Calymene".





15/27 IB-VM-9656.- Panorámica de la Formación de "Areniscas y cuarcitas" tomada desde las pizarras con "Calymene".

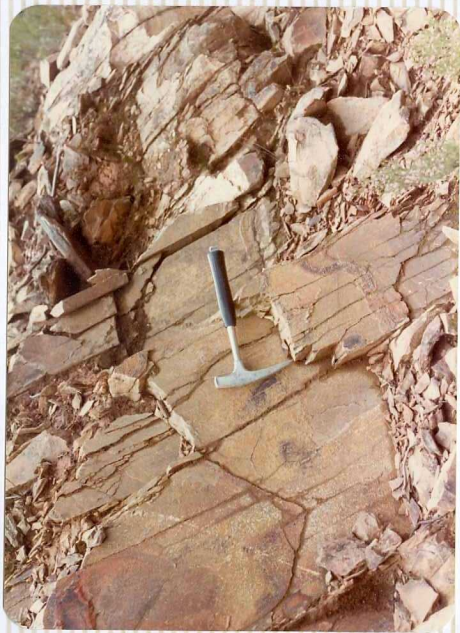


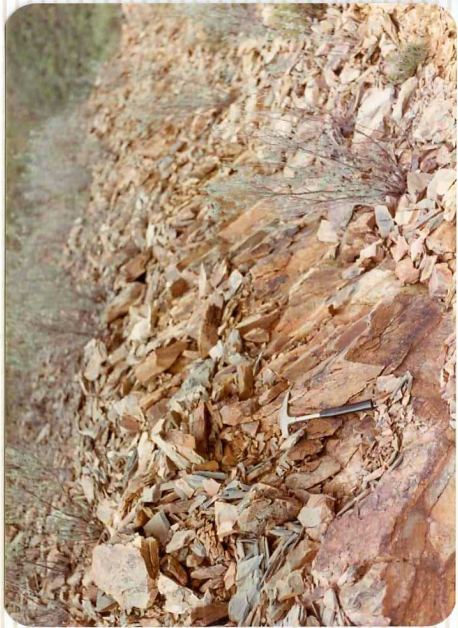
15/27 IB-VM-9657.- Formación de "Areniscas y cuar
citas".



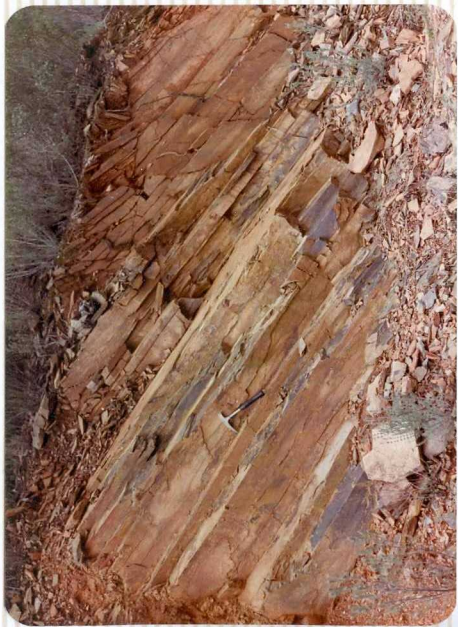
15/27 IB-VM-9658.- Afloramiento de la formación
"Cuarcitas y areniscas pardas".

15/27 IB-VM-9659.- Detalle de la formación "Cuarzitas y areniscas pardas".





15/27 IB-VM-9660.- Formación de "Pizarras gris-ne_gruzzcas masivas".



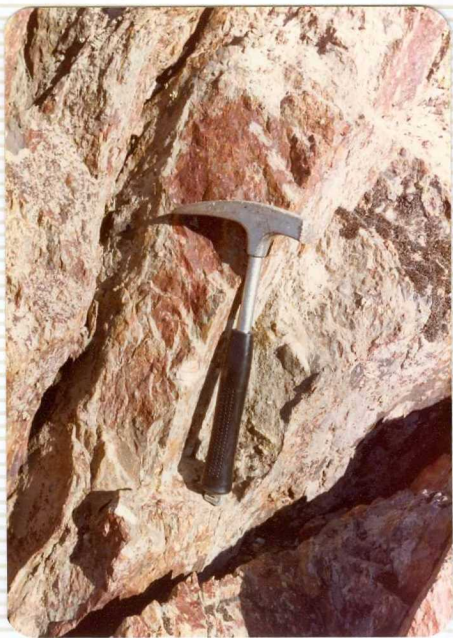
15/27 IB-VM-9661.- Formación de "Pizarras grises"
gruzcas masivas".

15/27 IB-VM-9662. - Panorámica de las Cuarcitas Si-
lúricas.



15/27 IB-VM-9663.- Afloramiento de pizarras con
"Calymene".





15/27 IB-VM-9664.- Detalle del afloramiento anterior.

15/27 IB-VM-9665.- Pizarras, pizarras y cuarci-
tas.



15/27 IB-VM-9666.- Pizarras, pizarras y cuarci-
tas.





15/27 IB-VM-9667.- Conglomerados, gravas y limos.
TERRAZA.)Río Guadarranque).